

Inhaltsverzeichnis

| | |
|--|-----------|
| 1 Zielsetzung | 3 |
| 2 Theorie | 3 |
| 3 Durchführung | 4 |
| 3.1 Untersuchung des Zusammenhangs zwischen Wellenlänge des Lichtes und der Maximalenergie der emittierten Elektronen | 5 |
| 3.2 Untersuchung der Abhängigkeit des Elektronenstroms von der an der beleuchteten Photozelle angelegten Spannung | 6 |
| 4 Auswertung | 6 |
| 4.1 Bestimmung der Grenzspannungen für die verschiedenen Spektrallinien . . | 6 |
| 4.2 Bestimmung des Verhältnisses $\frac{h}{e_0}$ | 12 |
| 4.3 Betrachtung der orangenen Spektralfarbe in dem Intervall $-20 \text{ V} < U < 20 \text{ V}$ | 13 |
| 5 Diskussion | 15 |
| Literatur | 16 |

²³ **1 Zielsetzung**

²⁴ In diesem Versuch soll der Photoeffekt untersucht werden. Dazu wird der Zusammenhang zwischen emittierter Lichtfrequenz und kinetischer Maximalenergie der emittierten Elektronen und außerdem die Abhängigkeit des Photostroms von der angelegten Bremsspannung untersucht.

²⁸ **2 Theorie**

²⁹ Die Quantenelektrodynamik erlaubt eine widerspruchslose Erklärung von Licht. Zur besseren Veranschaulichung werden oft Wellencharakter und Teilchencharakter als Grenzfälle der Theorie betrachtet. Kann über eine große Anzahl von Photonen gemittelt werden, so eignet sich das Wellenmodell zur Beschreibung des Lichts am sinnvollsten. Das Teilchenmodell hingegen eignet sich für die Erklärung der Phänomene, welche auftreten, wenn Licht mit Materie wechselwirkt. Der Teilchencharakter ist eine anschauliche Hilfe, um den Photoeffekt zu erklären. Ein Photon trifft mit der Energie $h\nu$ auf ein Elektron, welches sich in einem Metall befindet. Überschreitet die Energie des Photons die Austrittsarbeit A_k des Elektrons, so wird dies aus dem Metall gelöst. Somit folgt für die Energiebilanz

$$h\nu = E_{\text{kin}} + A_k. \quad (1)$$

³⁸ Die kinetische Energie E_{kin} beschreibt die Energie der Elektronen, die sie durch ihre Bewegung erlangt haben. Die Intensität des Lichts ist unabhängig von der Energie, allerdings nicht von der Frequenz ν . Ist jedoch die Intensität des Lichts höher, so steigt die Anzahl der Photonen. Somit können mehr Elektronen ausgelöst werden.

⁴² Der Photoeffekt kann mit Hilfe einer Photozelle beobachtet werden, welche in Abbildung 2 dargestellt ist. Der Glaskolben der Photozelle ist vakuumiert, sodass die gelösten Elektronen nicht mit anderen Teilchen wechselwirken. Die Kathode befindet sich in der Innenseite des Körpers als eine Metallschicht. Eine kreisförmige Anode ist vor der Kathodenoberfläche angebracht, um ausgelöste Elektronen anzuziehen.

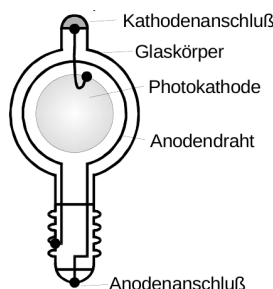


Abbildung 1: Schematische Darstellung einer Photozelle [2].

⁴⁷ Ein Photostrom entsteht durch die gelösten Elektronen. Um den Zusammenhang zwischen der Energie der Photonen und ihrer Frequenz zu ermitteln, wird die Gegenfeldmethode genutzt. Dies liegt daran, dass es keinen direkten Weg gibt, die Energie der

50 Elektronen zu bestimmen. Deutlich wird nur, dass die Energie E proportional zu ihrer
 51 Frequenz ν und antiproportional zu ihrer Wellenlänge λ ist. Um die Gegenfeldmethode zu
 52 nutzen, wird an den Kathodenanschluss und den Anodenanschluss eine variable Spannung
 53 U angelegt. Wenn die angelegte Spannung U den Photostrom durch ihre Gegenwirkung
 54 aufhebt, gilt die Energierelation

$$e_0 U_G = \frac{1}{2} m_0 v_{\max}^2. \quad (2)$$

55 Hierbei ist e_0 die Elementarladung, m_0 die Ruhemasse der Elektronen, U_G die Grenz-
 56 spannung der Elektronen und v_{\max} die maximale Geschwindigkeit, die die Elektronen
 57 annehmen. In die Formel (1) kann nun die kinetische Energie aus der Formel (2) eingesetzt
 58 werden, und es folgt

$$h\nu = e_0 U_G + A_k. \quad (3)$$

59 Um die Energieverteilung von Elektronen in Festkörpern beschreiben zu können, wird
 60 die Fermi-Dirac-Statistik genutzt.

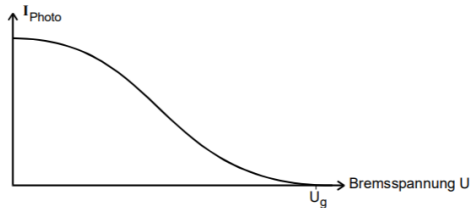


Abbildung 2: Abhängigkeit des Photostroms von der Bremsspannung bei Bestrahlung einer Photozelle mit monochromatischem Licht [2].

61 Diese beschreibt die Quantenstatistik von Fermionen. Die Statistik beruht auf dem
 62 Pauli-Prinzip. Elektronen können folglich bereits im Kathodenmaterial eine bestimmte
 63 Energie besitzen, diese liegt in einem Intervall von 0 bis ζ . Hierbei stellt ζ die Fermi-
 64 Energie der Elektronen dar. In der Nähe der Grenzspannung kann der parabolische
 65 Zusammenhang zwischen Photostrom und der Gegenspannung

$$I_{\text{Ph}} \propto U^2 \quad (4)$$

66 als Näherung genutzt werden.

67 **3 Durchführung**

68 Zur Untersuchung des Photoeffekts wird der in Abbildung 3 dargestellte Aufbau ver-
 69 wendet. Das von der Spektrallampe ausgesendete Licht wird dabei zunächst mit einer
 70 Kondensorlinse so gebündelt, dass die gesamte Intensität durch die Spaltblende fällt.
 71 Mit der Abbildungslinse wird der Lichtstrahl dann über ein Geradsichtprisma auf den
 72 Eintrittsspalt der Photozelle gelenkt. Mithilfe des Geradsichtprismas wird der Lichtstrahl
 73 in seine spektralen Anteile zerlegt, um die Photozelle mit monochromatischem Licht
 74 bestrahlen zu können. Die Wellenlänge des auf die Photozelle treffenden Lichts kann
 75 dann mit dem Schwenkarm gesteuert werden.

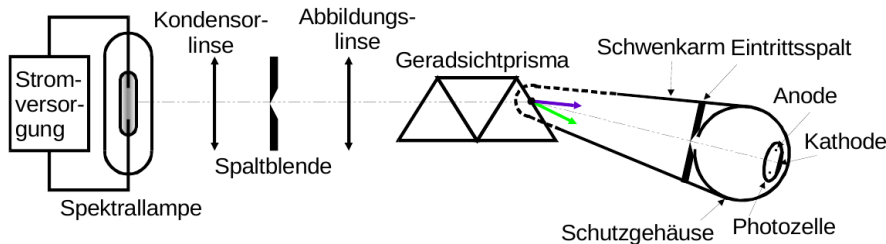


Abbildung 3: Versuchsaufbau mit Photozelle und optischen Elementen zur Steuerung der Wellenlänge des einfallenden Lichts [2].

76 3.1 Untersuchung des Zusammenhangs zwischen Wellenlänge des Lichtes 77 und der Maximalenergie der emittierten Elektronen

78 Im ersten Teil des Versuchs soll der Zusammenhang zwischen Wellenlänge des von der
79 Spektrallampe ausgesendeten monochromatischen Lichts und der maximalen Energie der
80 ausgelösten Elektronen betrachtet werden. Dazu wird die sogenannte Gegenfeldmethode
81 verwendet. Das elektrische Schaltbild dafür ist in Abbildung 4 dargestellt. Bei der
82 Gegenfeldmethode wird zwischen Kathode und Anode eine Spannung U angelegt, die
83 ein elektrisches Feld erzeugt, das eine bremsende Wirkung auf den Elektronenfluss
84 hat. Dabei reduziert sich die Anzahl der an der Anode eintreffenden Elektronen auf
85 diejenigen, deren Energie größer ist als $e_0 \cdot U$. Aus diesem Grund ist kein Strom mehr
86 vorhanden, sobald Gleichung (2) erfüllt ist. Zur Untersuchung der Abhängigkeit der
87 Maximalenergie der emittierten Elektronen von der Wellenlänge des einfallenden Lichts
88 werden nacheinander fünf Spektrallinien der Quecksilberdampflampe auf die Photozelle
89 gerichtet. Anschließend werden jeweils die Gegenspannung von 0 V bis maximal 1 V
90 hochgeregt und der Photostrom aufgenommen. Für die erste Spektrallinie wird der
91 Messbereich bereits bei -1 V mit einer Saugspannung begonnen, um den Wertebereich
einschätzen zu können.

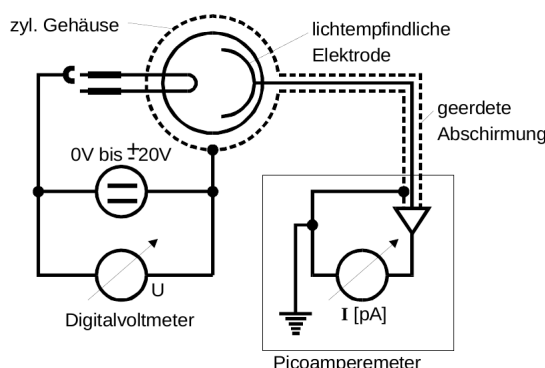


Abbildung 4: Elektrisches Schaltbild des Versuchsaufbaus bei der Gegenfeldmethode [2].

93 **3.2 Untersuchung der Abhangigkeit des Elektronenstroms von der an der
94 beleuchteten Photozelle angelegten Spannung**

95 Zur Untersuchung der Abhangigkeit des Elektronenstroms von der anliegenden Spannung
96 wird ebenfalls der Versuchsaufbau aus Abbildung 4 verwendet. Nun wird aber die
97 Wellenlange des einfallenden monochromatischen Lichts konstant gelassen. Außerdem
98 muss auf eine konstante Lichtintensitat geachtet werden. Die zwischen Kathode und
99 Anode anliegende Spannung wird nun von -20 V bis 20 V hoch reguliert. Dabei wird der
100 auftretende Photostrom aufgezeichnet.

101 **4 Auswertung**

102 Im Folgenden werden die durchgeführten Messreihen zur Untersuchung des Photoeffekts
103 ausgewertet.

104 **4.1 Bestimmung der Grenzspannungen fur die verschiedenen Spektrallinien**

Die zur Bestimmung der jeweiligen Grenzspannungen aufgenommenen Messwerte sind
in Tabelle 1 bis 5 dargestellt. Daraus wird die Wurzel des Photostroms gegen die
angelegte Spannung aufgetragen. Die Grenzspannung berechnet sich mithilfe einer linea-
ren Ausgleichsrechnung. Die Theoriekurve ergibt sich dabei aus dem in der Nahe der
Grenzspannung naherungsweise quadratischen Zusammenhang $I_{\text{ph}} \propto U^2$ zu

$$\sqrt{I_{\text{ph}}} = a \cdot U + b.$$

Daraus folgt fur die Grenzspannung

$$U_G = -\frac{a}{b}.$$

105 Daraus ergeben sich bei der Ausgleichsrechnung mit Python fur die verschiedenen Spek-
106 trallinien die in Tabelle 6 angegebenen Werte. In Abbildung 5 bis 9 sind die Messwerte
107 graphisch dargestellt und auerdem die berechneten Ausgleichsgeraden eingezeichnet.
108 Anzumerken ist dabei, dass fur die Ausgleichsgerade in Abbildung 5 nur die offensichtlich
109 linear abfallenden Messwerte verwendet werden, da davon ausgegangen wird, dass im
110 ersten Teil ein Fehler bei der Einstellung der Gegenspannungsquelle unterlaufen ist (siehe
111 Abschnitt 5). Außerdem werden bei allen Messreihen die gemessenen Nullstellen nicht be-
112 rucksichtigt, da diese per Ausgleichsrechnung bestimmt werden und bei den verwendeten
113 Messgeraten kein eindeutiger Nullpunkt feststellbar ist.

Tabelle 1: Messwerte des Photostrom bei entsprechender Gegenspannung für die Spektrallinie mit $\lambda = 578 \text{ nm}$.

| Gegenspannung U / V | Photostrom I / nA | $\sqrt{I / \mu\text{A}}$ |
|------------------------------|----------------------------|--------------------------|
| -1,000 | 1,400 | 37,417 |
| -0,800 | 1,400 | 37,417 |
| -0,599 | 1,240 | 35,214 |
| -0,400 | 1,200 | 34,641 |
| -0,201 | 0,500 | 22,361 |
| -0,001 | 0,200 | 14,142 |
| 0,001 | 0,500 | 22,361 |
| 0,050 | 0,320 | 17,889 |
| 0,100 | 0,240 | 15,492 |
| 0,150 | 0,210 | 14,491 |
| 0,200 | 0,150 | 12,247 |
| 0,250 | 0,090 | 9,487 |
| 0,300 | 0,055 | 7,416 |
| 0,350 | 0,031 | 5,568 |
| 0,400 | 0,018 | 4,243 |
| 0,450 | 0,007 | 2,646 |
| 0,500 | 0,000 | 0,000 |

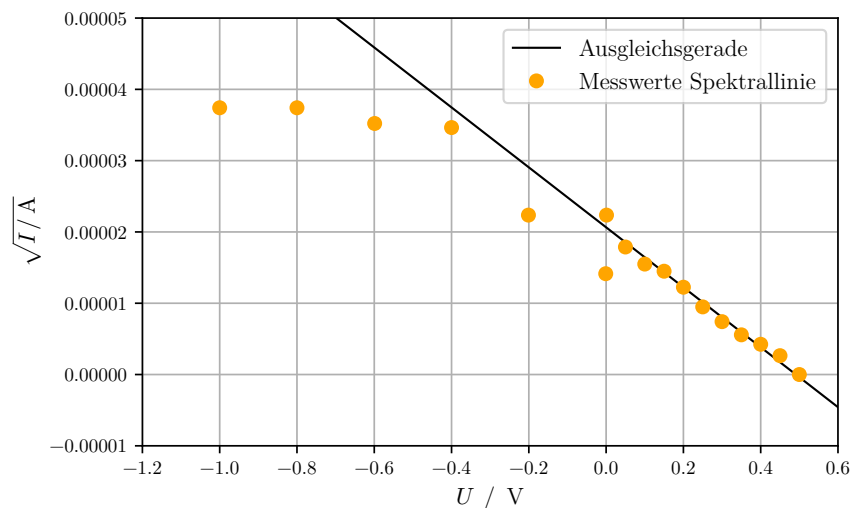


Abbildung 5: Graphische Darstellung der Messwerte des Photostroms bei entsprechender Gegenspannung für die Spektrallinie mit $\lambda = 578 \text{ nm}$.

Tabelle 2: Messwerte des Photostroms bei entsprechender Gegenspannung für die Spektrallinie mit $\lambda = 546$ nm.

| Gegenspannung U/V | Photostrom I/nA | $\sqrt{I}/\mu A$ |
|---------------------|-------------------|------------------|
| 0,001 | 0,650 | 25,495 |
| 0,050 | 0,490 | 22,136 |
| 0,101 | 0,360 | 18,974 |
| 0,150 | 0,330 | 18,166 |
| 0,203 | 0,260 | 16,125 |
| 0,250 | 0,170 | 13,038 |
| 0,303 | 0,125 | 11,180 |
| 0,350 | 0,070 | 8,367 |
| 0,400 | 0,003 | 1,844 |
| 0,450 | 0,010 | 3,162 |
| 0,486 | 0,000 | 0,000 |

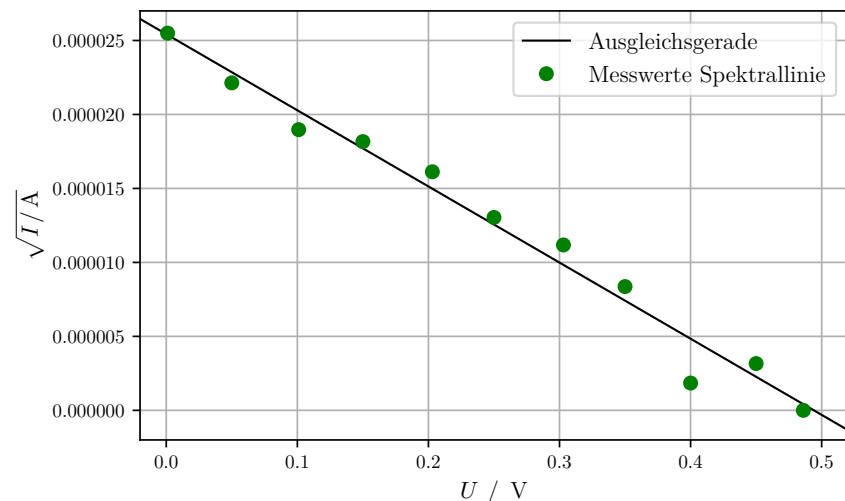


Abbildung 6: Graphische Darstellung der Messwerte des Photostroms bei entsprechender Gegenspannung für die Spektrallinie mit $\lambda = 546$ nm.

Tabelle 3: Messwerte des Photostroms bei entsprechender Gegenspannung für die Spektrallinie mit $\lambda = 492$ nm.

| Gegenspannung U/V | Photostrom I/nA | $\sqrt{I}/\mu A$ |
|---------------------|-------------------|------------------|
| 0,001 | 0,150 | 12,247 |
| 0,050 | 0,130 | 11,402 |
| 0,100 | 0,120 | 10,954 |
| 0,154 | 0,094 | 9,695 |
| 0,201 | 0,064 | 8,000 |
| 0,250 | 0,053 | 7,280 |
| 0,300 | 0,048 | 6,928 |
| 0,350 | 0,036 | 6,000 |
| 0,400 | 0,028 | 5,292 |
| 0,450 | 0,021 | 4,583 |
| 0,500 | 0,017 | 4,123 |
| 0,550 | 0,012 | 3,464 |
| 0,600 | 0,009 | 3,000 |
| 0,650 | 0,005 | 2,236 |

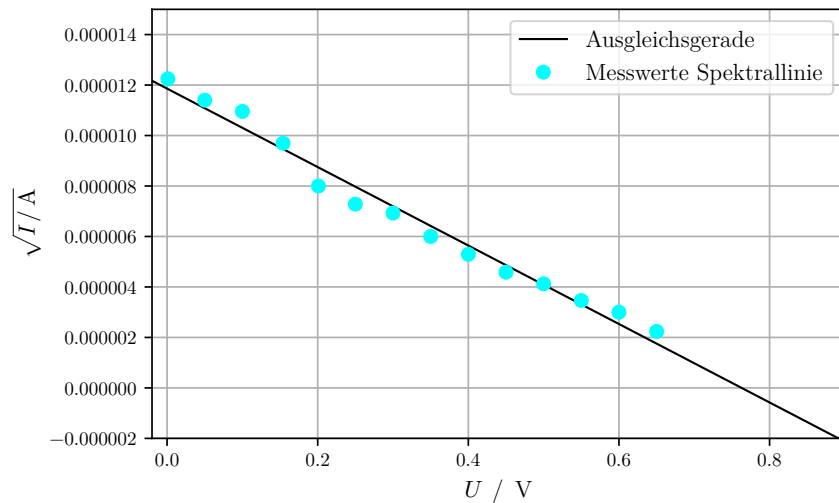


Abbildung 7: Graphische Darstellung der Messwerte des Photostroms bei entsprechender Gegenspannung für die Spektrallinie mit $\lambda = 492$ nm.

Tabelle 4: Messwerte des Photostroms bei entsprechender Gegenspannung für die Spektrallinie mit $\lambda = 405$ nm.

| Gegenspannung U/V | Photostrom I/nA | $\sqrt{I}/\mu A$ |
|---------------------|-------------------|------------------|
| 0,001 | 1,200 | 34,641 |
| 0,050 | 1,050 | 32,404 |
| 0,100 | 1,000 | 31,623 |
| 0,150 | 0,860 | 29,326 |
| 0,200 | 0,750 | 27,386 |
| 0,250 | 0,710 | 26,646 |
| 0,299 | 0,635 | 25,199 |
| 0,354 | 0,540 | 23,238 |
| 0,400 | 0,460 | 21,448 |
| 0,450 | 0,390 | 19,748 |
| 0,500 | 0,320 | 17,889 |
| 0,600 | 0,249 | 15,780 |
| 0,706 | 0,170 | 13,038 |
| 0,802 | 0,070 | 8,367 |
| 0,850 | 0,038 | 6,164 |
| 0,900 | 0,014 | 3,742 |

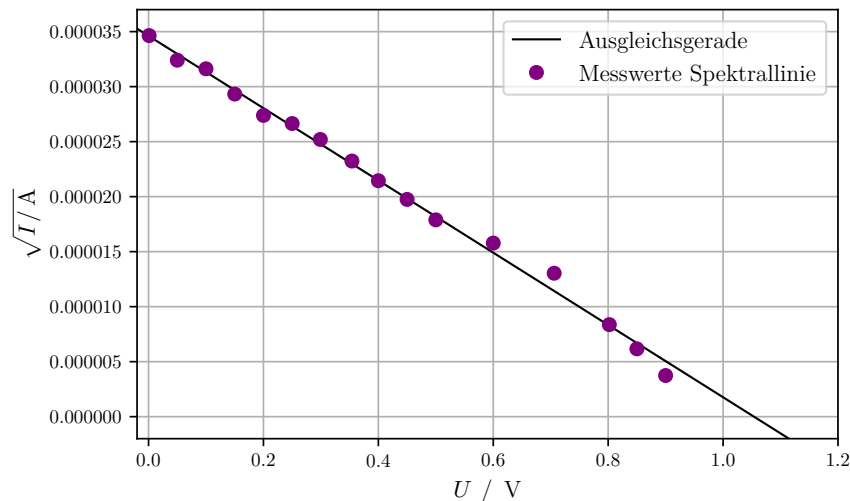


Abbildung 8: Graphische Darstellung der Messwerte des Photostroms bei entsprechender Gegenspannung für die Spektrallinie mit $\lambda = 405$ nm.

Tabelle 5: Messwerte des Photostroms bei entsprechender Gegenspannung für die Spektrallinie mit $\lambda = 365$ nm.

| Gegenspannung U/V | Photostrom I/nA | $\sqrt{I}/\mu A$ |
|---------------------|-------------------|------------------|
| 0,001 | 0,520 | 22,804 |
| 0,050 | 0,490 | 22,136 |
| 0,100 | 0,560 | 23,664 |
| 0,150 | 0,430 | 20,736 |
| 0,201 | 0,380 | 19,494 |
| 0,250 | 0,350 | 18,708 |
| 0,300 | 0,400 | 20,000 |
| 0,350 | 0,330 | 18,166 |
| 0,405 | 0,300 | 17,321 |
| 0,450 | 0,220 | 14,832 |
| 0,507 | 0,195 | 13,964 |
| 0,552 | 0,180 | 13,416 |
| 0,609 | 0,145 | 12,042 |
| 0,700 | 0,125 | 11,180 |
| 0,800 | 0,064 | 8,000 |
| 0,900 | 0,034 | 5,831 |

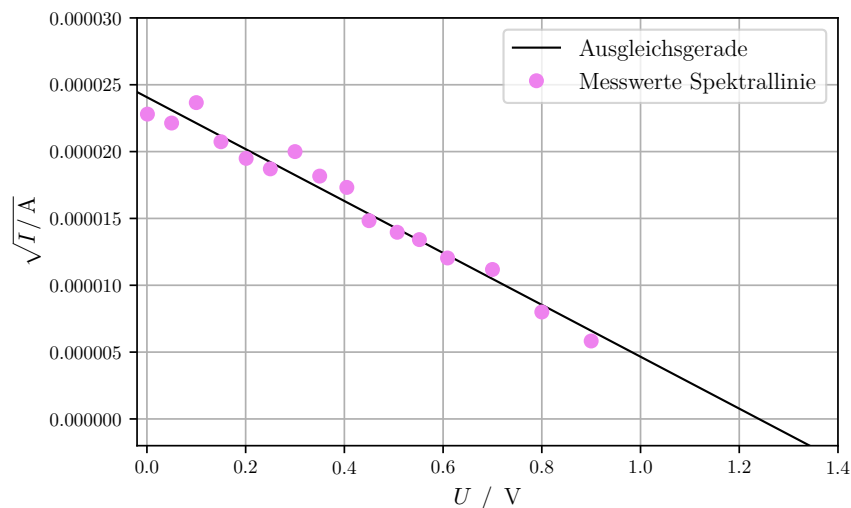


Abbildung 9: Graphische Darstellung der Messwerte des Photostroms bei entsprechender Gegenspannung für die Spektrallinie mit $\lambda = 365$ nm.

Tabelle 6: Ergebnisse der Ausgleichsrechnungen zur Bestimmung der Grenzspannung für die einzelnen Spektralfarben.

| Wellenl. λ/nm | Steigung $a / 10^{-5} \frac{\sqrt{\text{A}}}{\text{V}}$ | Parameter $b / 10^{-5} \sqrt{\text{A}}$ | Grenzspg. U_G / V |
|------------------------------|---|---|----------------------------|
| 578 | $-4,204 \pm 0,197$ | $2,065 \pm 0,025$ | $0,491 \pm 0,026$ |
| 546 | $-5,147 \pm 0,262$ | $2,543 \pm 0,077$ | $0,494 \pm 0,029$ |
| 492 | $-1,555 \pm 0,063$ | $1,186 \pm 0,024$ | $0,763 \pm 0,034$ |
| 405 | $-3,285 \pm 0,062$ | $3,461 \pm 0,031$ | $1,053 \pm 0,022$ |
| 365 | $-1,941 \pm 0,091$ | $2,407 \pm 0,043$ | $1,240 \pm 0,062$ |

¹¹⁴ 4.2 Bestimmung des Verhältnisses $\frac{h}{e_0}$

Nun wird das Verhältnis zwischen Planckschem Wirkungsquantum h und Elementarladung e_0 anhand der Ergebnisse aus Abschnitt 4.1 bestimmt. Dazu werden die Resultate der Ausgleichsrechnungen aus Tabelle 6 in Abbildung 10 graphisch dargestellt. Die zur Bestimmung des Verhältnisses $\frac{h}{e_0}$ durchgeführte Ausgleichsrechnung erfolgt nach Gleichung (2). Umgestellt nach dem zu bestimmenden Verhältnis ergibt sich daraus

$$U_G = \frac{h}{e_0} \cdot f - \frac{A_k}{e_0}.$$

Bei einer Ausgleichsrechnung mit Python ergeben sich dabei die Parameter

$$\begin{aligned} \frac{h}{e_0} &= (2,573 \pm 0,187) \cdot 10^{-15} \text{ V s} \\ \frac{A_k}{e_0} &= (8,586 \pm 1,232) \cdot 10^{-1} \frac{\text{J}}{\text{C}} \\ \Rightarrow A_k &= (8,586 \pm 1,232) \cdot 10^{-1} \text{ eV}. \end{aligned}$$

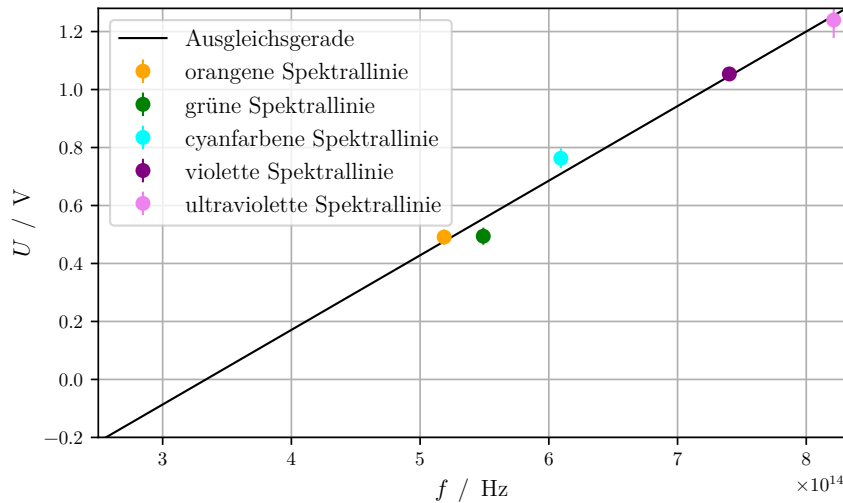


Abbildung 10: Graphische Darstellung der errechneten Gegenspannungen bei entsprechender Lichtfrequenz der Spektrallinien.

115 4.3 Betrachtung der orangenen Spektralfarbe in dem Intervall $-20 \text{ V} < U < 20 \text{ V}$

117 In diesem Teil der Versuchsreihe wird der Photostrom für die orangene Spektralfarbe in
 118 dem Intervall von $-20 \text{ V} < U < 20 \text{ V}$ betrachtet. Die verwendeten Messwerte sind in der
 119 Tabelle 7 dargestellt.

120 Bei der Versuchsreihe ist jedoch aufgefallen, dass lediglich das Intervall, welches in der
 121 Tabelle dargestellt ist, Sinn ergeben hat. Daher wird nur das Intervall $-5,5 \text{ V} < U < 1 \text{ V}$
 122 wird berücksichtigt und in Abbildung 11 graphisch dargestellt.

123 Bei Betrachtung der Abbildung fällt besonders auf, dass bei hohen Beschleunigungsspannungen die Kurve gegen einen bestimmten Grenzwert konvergiert. Dadurch, dass
 124 die Anzahl der Elektronen nur von der Lichtintensität abhängt, wird bei einer bestimmten Spannung der Maximalwert der Elektronen erreicht. So kann durch eine konstante
 125 Lichtintensität die Anzahl auslösbarer Elektronen nicht weiter erhöht werden.

126 Es wird aber deutlich, dass dieser Sättigungswert nur asymptotisch erreicht wird, da
 127 auch die Elektronen einer Streuung unterliegen. Um dem Elektronenverlust zu entgehen,
 128 muss der Aufbau eine kugelförmige Kathode enthalten, in deren Innerem die Anode liegt,
 129 welche vom Licht bestrahlt wird.

130 Eine weitere Auffälligkeit ist das Absinken des Photostroms kurz vor dem Erreichen
 131 der Grenzspannung. Dieses Verhalten lässt sich jedoch mit der Fermi-Dirac-Verteilung
 132 erklären, da ein Großteil der Elektronen bereits beim Austritt aus dem Festkörper eine
 133 Energie $> 0 \text{ eV}$ besitzen.

134 Es ist außerdem zu erwähnen, dass die Anode dem lichtelektrischen Effekt unterliegt,
 135 was aufgrund der Oberfläche und des verwendeten Materials deutlich geringer ist als
 136 bei der Kathode. Die Fläche der Anode ist im Vergleich zur Kathode sehr gering, und

Tabelle 7: Aufgenommene Messwerte bei der orangenen Spektrallinie.

| Spannung U/V | Strom I/nA | Spannung U/V | Strom I/nA |
|----------------|--------------|----------------|--------------|
| 1 | -0,018 | -0,5 | 1,45 |
| 0,75 | -0,015 | -0,75 | 1,9 |
| 0,5 | -0,005 | -1 | 2,35 |
| 0,3 | 0,02 | -1,5 | 4 |
| 0,2 | 0,25 | -2 | 3,9 |
| 0,1 | 0,39 | -2,5 | 4,5 |
| 0,02 | 0,55 | -3 | 5 |
| -0,02 | 0,6 | -3,51 | 5,6 |
| -0,1 | 0,78 | -4 | 5,8 |
| -0,2 | 0,9 | -4,5 | 6,1 |
| -0,31 | 1,15 | -5,02 | 6,3 |
| -0,41 | 1,3 | -5,5 | 6,4 |

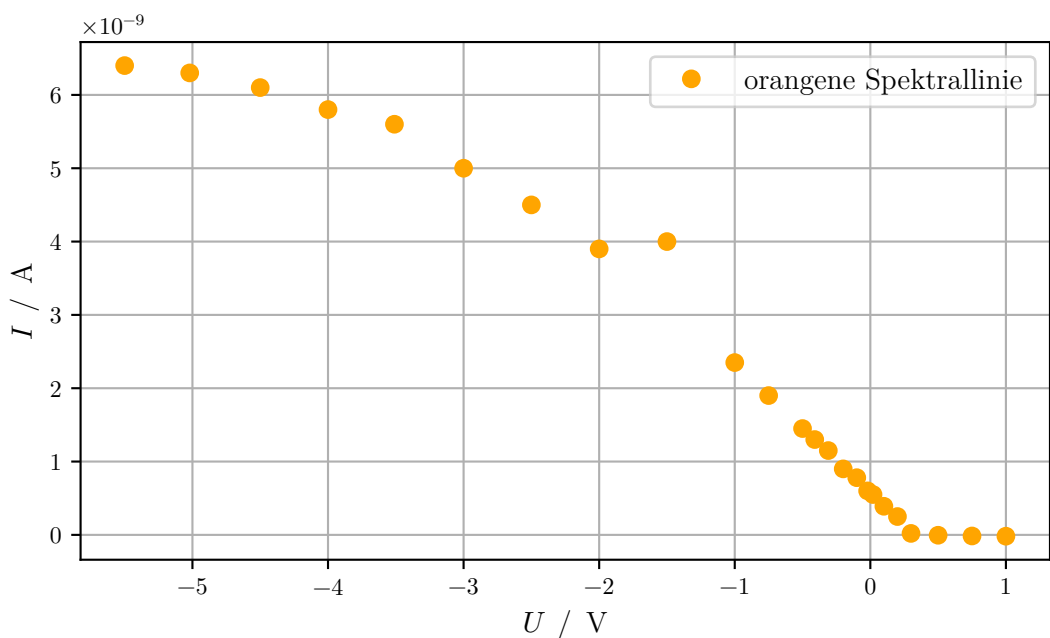


Abbildung 11: Photostrom der Spektrallinie mit $\lambda = 578$ nm in Abhängigkeit von der anliegenden Spannung als graphische Abbildung.

¹³⁹ somit ist ein Sättigungswert deutlich schneller erreicht. Tritt der negative Strom schon
¹⁴⁰ bei energiearmen Licht auf, ist die Austrittsarbeit vermutlich ziemlich gering und in der
¹⁴¹ Größenordnung in der Kathode.

¹⁴² 5 Diskussion

Der experimentell bestimmte Wert für $\frac{h}{e_0}$ liegt bei

$$(2,573 \pm 0,187) \cdot 10^{-15} \text{ V s.}$$

Verglichen mit dem Literaturwert von $\frac{h}{e_0}$ von $4,136 \cdot 10^{-15} \text{ V s}$ liegt eine Abweichung von $p = 37,8\%$ vor. Diese berechnet sich nach

$$p = \frac{h/e_{0\text{exp}}}{h/e_{0\text{theoret}}} - 1.$$

¹⁴³ Für das Auftreten dieses Fehlers sind mehrere Ursachen möglich. Die größte Fehlerquelle
¹⁴⁴ war der Aufbau selbst. Das Ampermeter zeigte erhebliche Schwankungen, die auch schon
¹⁴⁵ bei kleinsten Bewegungen aufgetreten sind. Somit musste die Messreihe der orangenen
¹⁴⁶ Spektrallinie dreimal neuangefertigt werden, weil die Werte unwahrscheinlich stark
¹⁴⁷ geschwankt haben. Außerdem ist die Beleuchtung im Raum auch eine große Fehlerquelle,
¹⁴⁸ da man die Lampen nie komplett von den Messgeräten wenden konnte. Auch stellt
¹⁴⁹ die Apparatur, wo die Photozelle befestigt war, einen Grund für die Messfehler dar. Die
¹⁵⁰ Photozelle wurde mittels einer Schiene auf einem Teilkreisbogen befestigt und um den
¹⁵¹ Aufbau herumgefahren, um die Spektren aufnehmen zu können. Jedoch ist dieser Aufbau
¹⁵² auch sehr wackelig, weshalb bei der Messung die Photozelle immer verrutschte. Somit
¹⁵³ konnte die Intensität nicht konstant gehalten werden, was für schwankende Anzahl an
¹⁵⁴ Elektronen sorgt.

¹⁵⁵ Die Quecksilber-Dampflampe ist ebenfalls eine Fehlerquelle. Bei Betrachtung der
¹⁵⁶ Spektrallinien auf dem Schirm war eine rote Linie zu erkennen, welche jedoch bei
¹⁵⁷ einer Quecksilber-Dampflampe nicht auftreten sollte [1]. Dies lässt sich eventuell durch
¹⁵⁸ Lufteinschlüsse in der Lampe erklären. Die Abweichungen sind dann auf systematische
¹⁵⁹ Fehler zurückzuführen, da der Aufbau den größten Teil der Fehler ausmacht.

¹⁶⁰ Zusätzlich sind Probleme beim Einstellen der Gegenspannung aufgetreten. Zur Ermittlung
¹⁶¹ der Messwerte bei der orangenen Spektrallinie (siehe Tabelle 1) wurde zunächst
¹⁶² mit einer Beschleunigungsspannung gearbeitet, um den Wertebereich einschätzen zu
¹⁶³ können. Aus der dazugehörigen Abbildung 5 ist allerdings ersichtlich, dass durch die
¹⁶⁴ Umpolung der lineare Verlauf sehr stark verfälscht wird. Dabei handelt es sich um einen
¹⁶⁵ systematischen Fehler, der dadurch entsteht, dass die näherungsweise Proportionalität
¹⁶⁶ $I \propto I^2$ nur in der Nähe der Grenzspannung gilt und insbesondere bei einer Umpolung
¹⁶⁷ stark verfälscht ist.

¹⁶⁸ Alles in allem wurde jedoch das Grundprinzip des photoelektrischen Effektes sehr
¹⁶⁹ deutlich, und die Apparatur eignet sich gut für die Veranschaulichung dieses Experiments.

170 **Literatur**

- 171 [1] Jahrgang 11. *Spektralanalyse mit dem optischen Gitter*. 3. Apr. 2019. URL: <https://physikunterricht-online.de/jahrgang-11/spektralanalyse-optisches-gitter/>.
- 172 [2] TU Dortmund. *Versuchsanleitung zum Versuch V500*. 1. Apr. 2019. URL: <http://129.217.224.2/HOME PAGE/MEDPHYS/BACHELOR/AP/SKRIPT/V500.pdf>.
- 173
- 174
- 175